

9. Topologische Bandtheorie

Referenzen: • Bernevig & Hughes, Topological Insulators and Superconductors

9.1 0-dimensionale Beispiele, Topologie und Symmetrie

Topologie: diskrete Dinge, die sich nicht kontinuierlich ändern können.

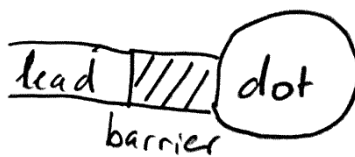
Bedeutung in Physik: falls Diskretheit zu messbaren Konsequenzen führt. Topologie kann genutzt werden, um Systeme mit Anregungslücke zu klassifizieren.

0-dim. System:

Betrachte Quantensystem mit N Zuständen.

\Rightarrow Hamiltonian \hat{H} \approx $N \times N$ -Matrix

z.B. ein kleiner Quantenpunkt



Fermienergie im Lead (Kontakt)

\Rightarrow Zustände mit $E_n < E_F$ sind gefüllt. (setze $E_F = 0$)

Topologie und Systeme mit Anregungslücke

Def.: Zwei Systeme sind topologisch äquivalent,

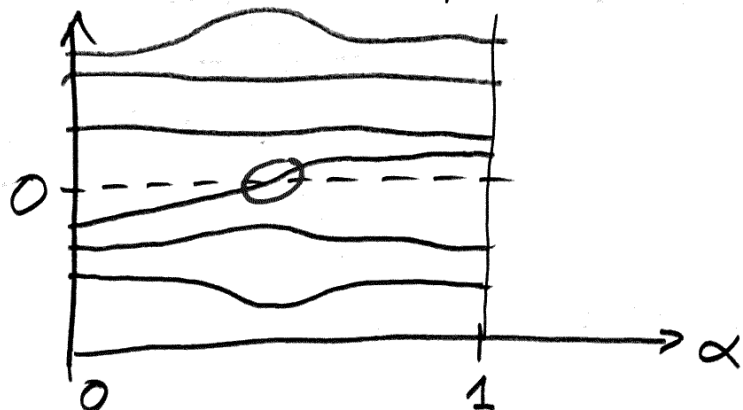
Wenn sie kontinuierlich ineinander deformiert werden können, ohne die Anregungslücke zu schließen.

Betrachte beliebiges symmetrisches H und deformiere es in H' : $H(\alpha) = \alpha H' + (1-\alpha)H$

$\alpha=0$: H vom Anfang, $H(\alpha)=H$

$\alpha=1$: $H(\alpha)=H'$

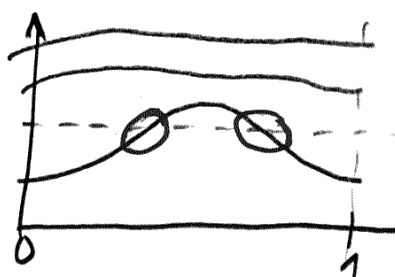
Betrachte Energiespektrum: z.B.



Nulldurchgang: Energienivenbedingung gebrochen.

Frage: Sind H und H' topologisch äquivalent?

Anderes Beispiel:

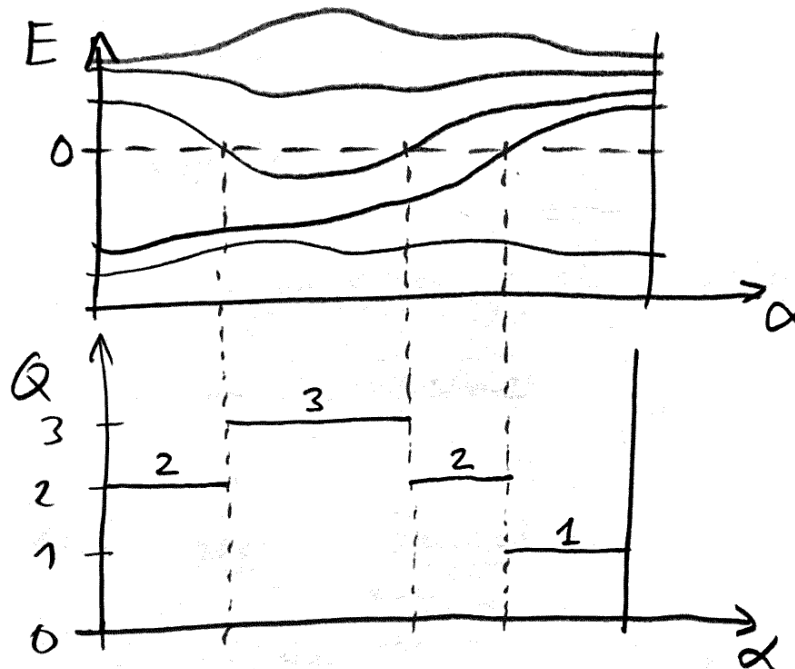


=> zwei Nulldurchgänge, aber entl. existiert ein anderer Pfad ohne Nulldurchgänge?

\Rightarrow Wir brauchen ein besseres Konzept, um topologische Äquivalenz zu bestimmen!

Konzept: Topologische Invariante

Idee: Zähle # Zustände mit $E < 0$
 $= \# \text{ gefüllter Zustände}$
 $\equiv \text{topologische Invariante } Q$



\Rightarrow es genügt, die Nulldurchgänge zu betrachten!

Rolle von Erhaltungssätzen:

Betrachte Hamiltonian mit Symmetrieeinschränkung:

\exists eine Unitäre U , z.B., $U = \sigma_2 \otimes 1$, so dass

$$U^\dagger H U = H$$

$\Rightarrow H$ kann blockdiagonalisiert werden:

$$H_{4 \times 4} = \begin{bmatrix} \boxed{H_1}_{2 \times 2} & 0 \\ 0 & \boxed{H_2}_{2 \times 2} \end{bmatrix}$$

$$\Rightarrow Q[H] = Q[H_1] + Q[H_2]$$

\Rightarrow unitäre Symmetrien sind nützlich, um die Dimensionalität zu reduzieren, aber ansonsten langweilig.

Andere Symmetrien sind interessanter, z.B. Zeitinversionssymmetrie.

Zeitinversionssymmetrie (time-reversal symmetry, trs)

Sind reelle Matrizen speziell? Ja! Sie sind Manifestation von trs.

trs ist repräsentiert durch anti-unitären Operator

$$\tilde{T} = U K$$

↑ ↑
unitär komplexe Konjugation

Bei reellen Matrizen ist $H = H^*$, \Rightarrow kommutiert mit T .

Bei komplexen Matrizen ändert sich nichts,
solange $T = K$ gilt ($U = \mathbb{1}$).

Aber: Wichtiger Fall, wo trs einen Unterschied ausmacht: Spin- $\frac{1}{2}$ Systeme.

Für Spin- $\frac{1}{2}$ gilt: $T = i\sigma_y K$, $\sigma_y = \begin{pmatrix} 0 & -i \\ i & 0 \end{pmatrix}$

$$\Rightarrow T^2 = -1$$

\Rightarrow trs impliziert dann $H = \sigma_y H^* \sigma_y$

\Rightarrow Jeder Energieniveaust ist doppelt entartet
(Kramers-Entartung) \Rightarrow Warum?

Kramers-Theorem
(s. unten)

$\Rightarrow Q$ kann nur gerade Werte annehmen

$$Q = 0, 2, 4, \dots$$

discrete

\Rightarrow Beispiel dafür, wie Symmetrie die Topologie beeinflusst.

Exkurs: Zeitinversionssymmetrie und Kramers-Theorem

- Symmetrie: Operation, die den Absolutbetrag des inneren Produkts zweier beliebiger Zustände im Hilbertraum \mathcal{H} invariant lässt.
- U Symmetriegeration \Leftrightarrow für bel. $|4\rangle, |\phi\rangle \in \mathcal{H}$

$$|4'\rangle = U|4\rangle \quad |4'\rangle = U|4\rangle \Rightarrow \langle \phi' | 4' \rangle = \langle \phi | 4 \rangle$$

$$|\phi'\rangle = U|\phi\rangle \quad |\phi'\rangle = U|\phi\rangle \Rightarrow \langle \phi' | \phi' \rangle = \langle \phi | \phi \rangle$$
- Wigner 1930er: U linear oder antilinear
 - ↗ \Downarrow ↘
 - $U(\alpha|4\rangle + \beta|\phi\rangle) = \alpha U|4\rangle + \beta U|\phi\rangle \quad U(\alpha|4\rangle + \beta|\phi\rangle) = \alpha^* U|4\rangle + \beta^* U|\phi\rangle$
- gegebener Symmetriegeration U :
wenn $U^{-1}HU = H$ dann hat H "U-Symmetrie"
- wichtige diskrete Symmetrie: Zeitinversionssymmetrie (trs)
 - zeitumgekehrter Zustand
 - umgekehrte Zeitervolution
- klassisch: Ort, Impuls (\vec{r}, \vec{p})
zeitumgekehrter Zustand $\Theta(\vec{r}, \vec{p}) = (\vec{r}, -\vec{p})$
 $\Theta^2 = \text{Identität (klassisch)}$

- rückwärts ?

Vorwärts: $S_f = S_H(t_{\text{end}}, 0) S_i$

\uparrow \uparrow
 Zustand Evolutionsoperator
 mit H

rückwärts: $S_f' = S_H(-t_{\text{end}}, 0) \underbrace{\Theta S_i}_{\substack{\text{zeitinverser} \\ \text{Zustand}}}$

- Zeitinversionssymmetrie von H

$$(\Rightarrow) \quad \Theta S_f = S_f' \quad \text{für alle } S_i \text{ und } t_{\text{end}}$$

\Rightarrow In einem System mit ΘS_i ist der Zustand, der durch umgekehrte Zeitevolution vom zeit-inversen Anfangszustand erreicht wird, identisch mit dem ~~Zeitinversen des~~ ^{Vorwärts} entwickelten Zustand aus dem Anfangszustand.

- Quantumechanik: $\Theta \equiv$ Zeitumkehr-Operator auf Hilbertraum \mathcal{H} .

(Wir benutzen wahlweise Θ oder T)

- einzelnes spinloses Teilchen

$$\Theta |\vec{r}\rangle = |\vec{r}\rangle$$

$$\Theta |\vec{p}\rangle = |\vec{-p}\rangle$$

$$|\Psi_f\rangle = S_H(t_{\text{end}}, 0) |\Psi_i\rangle$$

$$S'_H(t_{\text{end}}, 0) = e^{-iHt_{\text{end}}/\hbar}$$

Beginne mit $|\Psi_i'\rangle = \Theta |\Psi_i\rangle$

$$|\Psi_f'\rangle = S_H(-t_{\text{end}}, 0) \Theta |\Psi_i\rangle$$

Frage: $\Theta |\Psi_f\rangle = ? |\Psi_f'\rangle$ Falls immer wahr, hat H trs

\Rightarrow falls H trs hat, gilt

$$\Theta e^{-iHt/\hbar} = e^{iHt/\hbar} \Theta$$

$$\Leftrightarrow \boxed{\Theta \cdot (-iH) = iH \cdot \Theta} \Leftrightarrow H \text{ hat trs}$$

Man könnte nun denken: $\Theta H + H\Theta = \{\Theta, H\} = 0$ (*)

Ergibt das Sinn?

z.B. freies Teilchen $H = \hat{p}^2/2m$

$$H|\psi\rangle = \hat{p}^2/2m |\psi\rangle = p^2/2m |\psi\rangle$$

falls (*) korrekt: $\Theta H |\psi\rangle = (\hat{p})^2/2m |\psi\rangle = p^2/2m |\psi\rangle$

$$\stackrel{(*)}{=} -H\Theta |\psi\rangle = -H|-\psi\rangle = -p^2/2m |-\psi\rangle$$

$$\Rightarrow -p^2 = p^2 \quad \text{↯}$$

Warum ist das falsch? Wir hatten implizit Θ als linearen Operator angenommen. FALSCH!

- Wigner: Θ ist antilinear

$$\Theta(-iH) = +i\Theta H \stackrel{!}{=} iH\Theta$$

$$\Rightarrow [\Theta, H] = 0 \quad \begin{array}{l} \Theta \text{ ist antilinearer Operator,} \\ \text{der für trs Systeme mit} \\ H \text{ kommutiert.} \end{array}$$

$$\bullet \text{Ort: } \Theta^{-1} \hat{\vec{r}} \Theta = \hat{\vec{r}}$$

$$\text{Impuls: } \Theta^{-1} \hat{\vec{p}} \Theta = -\hat{\vec{p}} \quad \left. \right\} \hat{=} \text{klassisch}$$

$$\text{Drehimpuls: } \Theta^{-1} \hat{\vec{L}} \Theta = -\hat{\vec{L}}$$

- Spinloses Teilchen in Zustand $|\psi\rangle$:

$$|\psi\rangle = \int d^3r \psi(\vec{r}) |\vec{r}\rangle$$

$$\Theta|\psi\rangle = \int d^3r \psi^*(\vec{r}) |\vec{r}\rangle \Rightarrow \text{trs-Zustand hat Amplitude } \psi^*(\vec{r})$$

$$\bullet |\psi'\rangle = \Theta|\psi\rangle \text{ und } |\phi'\rangle = \Theta|\phi\rangle$$

$$\Rightarrow \langle \psi' | \phi' \rangle = (\langle \phi | \psi \rangle)^* \text{ trs ist unitär}$$

- Eigenzustand eines trs H (spinlos), wenn nicht-entartet, hat Wellenfunktion, die reell gewählt werden kann,

- $\Theta^2 = \mathbb{1}$ für spinlose Teilchen

- Was ist mit Spin- $\frac{1}{2}$?

- Spin \vec{S} mit $[S_i, S_j] = i\hbar \epsilon_{ijk} S_k$

$$\Theta^* \vec{S} \Theta = -\vec{S} \quad (\text{Drehimpuls})$$

- benutze, dass jeder antiunitäre Operator als

$$\Theta = \underbrace{U}_{\uparrow} K \underbrace{U^*}_{\uparrow}$$

Unitär = komplexe Konjugation

dargestellt werden kann.

- $| \psi \rangle = \sum_m \psi(m) | m \rangle \Rightarrow K| \psi \rangle = \sum_m \psi^*(m) \underbrace{| m \rangle}_{\text{Basisabhängigkeit von } K \text{ und damit von } \Theta}$

Aber: $K| \psi \rangle$ ist basis-unabhängig

- Was ist das U in Θ ?

$$\Theta| \psi \rangle = UK| \psi \rangle = U \sum_m \psi^*(m) K| m \rangle$$

$$\stackrel{?}{=} U \sum_m \psi^*(m) | m \rangle = \sum_m \psi^*(m) U| m \rangle$$

wähle reelle

Basis $| m \rangle \Rightarrow$ genügt, Wirkung von U auf Basis-Kets zu kennen

- Wirkung von U auf $|m\rangle$ muss basis-abhängig sein, da R basis-abhängig ist.

Wähle $|\vec{r}\rangle$ (Ortsbasis), was ist $U|\vec{r}\rangle$?

Offensichtlich: $U|\vec{r}\rangle = |\vec{r}\rangle$, da $\Theta|\psi\rangle = \int d^3r \Psi^*(\vec{r})|\vec{r}\rangle$

$$\Rightarrow U \equiv \mathbb{1} \text{ für Ortsbasis}$$

Wähle $|\vec{p}\rangle$ (Impulsbasis)

$$\Rightarrow U|\vec{p}\rangle = |-\vec{p}\rangle$$

- Für Spin- $\frac{1}{2}$: $|\psi\rangle = \sum_{\sigma} \int d^3r \Psi_{\sigma}(\vec{r}) |\vec{r}, \sigma\rangle$
↑
2-Komponenten-Pauli-Spinor

- Spinanteile: $|\psi\rangle = \Psi_{\uparrow}|1\rangle + \Psi_{\downarrow}|0\rangle = \sum_{\sigma} \Psi_{\sigma}|0\rangle$

$|0\rangle$ = Eigenzustand von S_z

$$\cdot \Theta|\psi\rangle = \sum_{\sigma} \Psi_{\sigma}^* \Theta|0\rangle$$

$$\Rightarrow UK|\psi\rangle = \sum_{\sigma} \Psi_{\sigma}^* U|0\rangle$$

\Rightarrow Was sind $U|1\rangle$ und $U|0\rangle$?

- Intuition: $\Theta|1\rangle \sim |0\rangle$ ("Zeitumkehr dreht Spin um")
 $\Theta|0\rangle \sim |1\rangle$

U unitär $\Rightarrow \exists$ hermitisches W mit $U = e^{iW}$

- z.B. Rotation um y -Achse um π :

$$U = e^{-i\pi S_y/\hbar}$$

für $\text{Spin}-\frac{1}{2}$: $U = e^{-i\pi S_y/\hbar} = e^{-i\pi \sigma_y/2}$

$$= -i\sigma_y = \begin{pmatrix} 0 & -1 \\ 1 & 0 \end{pmatrix}$$

- $\Theta |\uparrow\rangle = U |\uparrow\rangle = \begin{pmatrix} 0 & -1 \\ 1 & 0 \end{pmatrix} \begin{pmatrix} 1 \\ 0 \end{pmatrix} = \begin{pmatrix} 0 \\ 1 \end{pmatrix} = |\downarrow\rangle$

$$\Theta |\downarrow\rangle = \dots = -|\uparrow\rangle$$

$$\Theta^2 |\uparrow\rangle = -|\uparrow\rangle$$

$$\Theta^2 |\downarrow\rangle = -|\downarrow\rangle$$

$$\Theta^2 |\psi\rangle = \Theta \left(\sum_{\sigma=\uparrow, \downarrow} \psi_\sigma^* \sigma |\tilde{\sigma}\rangle \right) = \sum_{\sigma} \psi_\sigma \underbrace{\sigma}_{\equiv -1} |\tilde{\sigma}\rangle = -|\psi\rangle$$

$$\Theta^2 = -1 \quad \text{für Spin-}\frac{1}{2} \quad \begin{array}{l} (\text{halbzahliges Spin}) \\ \text{Fermionen} \end{array}$$

- $\Theta |\vec{r}\sigma\rangle = \sigma |\vec{r}\tilde{\sigma}\rangle$

$$\Theta |\vec{p}\sigma\rangle = \sigma |\vec{p}\tilde{\sigma}\rangle$$

Kramers - Theorem

Sei H ein trs Hamiltonian, $|4\rangle$ Eigenzustand mit Energie E , System habe halbzahligen Spin.

trs $\Rightarrow \Theta|4\rangle = |4'\rangle$ ist ebenfalls Eigenzustand mit Energie E .

Ist $|4'\rangle$ ein anderer Zustand als $|4\rangle$?

\Rightarrow falls ja, dann ist der Zustand entartet.

Nimm an, er sei nicht entartet: $|4'\rangle = e^{i\alpha}|4\rangle$

$$\Rightarrow \Theta|4\rangle = |4'\rangle = e^{i\alpha}|4\rangle$$

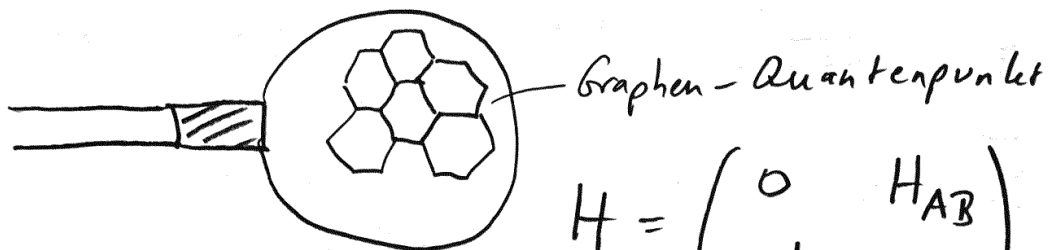
$$-\boxed{|4\rangle} = \underbrace{\Theta^2|4\rangle}_{=-1\mathbb{I}} = \Theta|4'\rangle = \overline{e^{-i\alpha}}\Theta|4\rangle = \boxed{|4\rangle} \quad \cancel{\Delta}$$

Θ antilinear

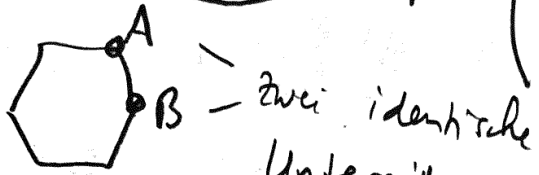
$\Rightarrow |4'\rangle$ und $|4\rangle$ linear unabhängig sein!

Kramers - Theorem: Jeder Eigenzustand eines halbzahligen Spinsystems mit Zeitumkehrinvarianz ist gerad-zahlig entartet. $|4\rangle$ und $\Theta|4\rangle$ sind verschiedene Eigenzustände mit dem selben Eigenwert.
(Wichtig für "Z₂" topologische Isolatoren)

Untergitter (sublattice) - Symmetrie



$$H = \begin{pmatrix} 0 & H_{AB} \\ H_{AB}^+ & 0 \end{pmatrix}$$



→ Diagonalmatrix σ_z sei +1 für A
-1 für B

$$-H = \sigma_z H \sigma_z$$

→ falls $(\Psi_A, \Psi_B)^T$ Eigenvektor von H mit Energie ε , dann $(\Psi_A, -\Psi_B)^T$ ————— $-\varepsilon$

→ symmetrisches Spektrum wegen Untergitter-Symmetrie

→ unsere topologische Invariante Q kann sich für Systeme mit Untergittersymmetrie nicht ändern!

→ zusätzliche Symmetrie kann topologische Klassifikation trivial machen

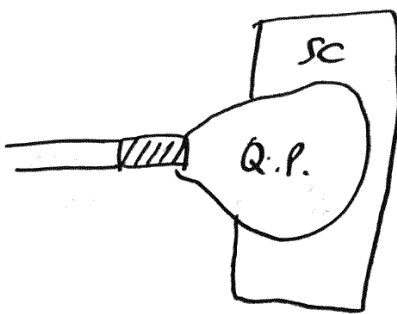
Test: Welche Symmetrie schränkt Q nicht ein?

- (A) spinlose trs (B) Untergittersymm. (C) spin- $\frac{1}{2}$ trs

Teilchen - Loch - Symmetrie

(particle-hole symmetry = phs)

Beispiel: Supraleiter (SC)



=> Paarungsterme

$$H = \sum_{nm} H_{nm} c_n^+ c_m + \frac{1}{2} (\Delta_{nm} c_n^+ c_m + \Delta_{nm}^* c_m c_n)$$

c_n^+, c_n : fermionische Erzeuger / Vernichter

$$c_n^+ c_m + c_m c_n^+ = \delta_{nm}$$

Δ_{nm} : antisymmetrische Matrix

H_{nm} : Q.P. Hamiltonian ohne SC

H erhält nicht die Fermionenzahl, aber die
Parität, d.h. gerade / ungerade Fermionenzahl

Wir schreiben $C = (c_1, c_2, \dots, c_n, c_1^+, c_2^+, \dots, c_n^+)^T$

$$\text{und } H = \frac{1}{2} C^+ H_{BdG} C$$

BdG = Bogoliubov-de Gennes

$$H_{BdG} = \begin{pmatrix} H & \Delta \\ -\Delta^* & -H^* \end{pmatrix} = \begin{pmatrix} \text{Elektronen Paarung} \\ \text{Paarung Löcher} \end{pmatrix}$$

=> H_{BdG} hat automatisch eine Extra-Symmetrie, die Elektronen und Löcher verbindet:

Antiumitaires $\mathcal{P} = \tau_x K$ mit $\tau_x = \begin{pmatrix} 0 & 1 \\ 1 & 0 \end{pmatrix}$,

das auf die Teildra / Loch Blöcke wirkt:

$$\mathcal{P} H_{BdG} \mathcal{P}^{-1} = -H_{BdG}$$

\rightarrow Teildra - Loch - Symmetrie (phys).

Check:

$$\begin{aligned} \tau_x H_{BdG} \tau_x^{-1} &= \begin{pmatrix} 0 & 1 \\ 1 & 0 \end{pmatrix} \begin{pmatrix} H & \Delta \\ -\Delta^* & -H^* \end{pmatrix} \begin{pmatrix} 0 & 1 \\ 1 & 0 \end{pmatrix} \\ &= \begin{pmatrix} 0 & 1 \\ 1 & 0 \end{pmatrix} \begin{pmatrix} \Delta & H \\ -H^* & -\Delta^* \end{pmatrix} = \begin{pmatrix} -H^* & -\Delta^* \\ \Delta & H \end{pmatrix} \end{aligned}$$

davon das Komplex Konjugierte:

$$\begin{pmatrix} -H & -\Delta \\ \Delta^* & H^* \end{pmatrix} = -H_{BdG}$$

Achtung: Die Schreibweise $\mathcal{P} H_{BdG} \mathcal{P}^{-1}$ mit
 $\mathcal{P} = \tau_x K$ ist eutl. verwirrend.

Besser: $K \left[\tau_x H_{BdG} \tau_x^{-1} \right]$

nur 1x komplexe konjugieren

phs repräsentiert, durch antiumitären Operator,
der mit H antikommutiert.

- Vorzeichen \Rightarrow Spektrum symmetrisch um Energie = 0
(Fermi: -Energie)

\Rightarrow für jeden Eigenvektor $\Psi = (u, v)^T$ von H_{BDG}
gibt es ph-symmetrisches $P\Psi = (v^*, u^*)^T$
mit Energie $-E$

\Rightarrow ähnlich wie bei Untergitter-Symmetrie, phs
erfordert, dass Q immer gleich bleibt.

Aber: Energienulldurchgänge sind möglich bei
phs — was passiert dort? \times

Fermion-Paritäts-Übergänge:

für H_{BDG} müssen wir die Zustände verdoppeln.

Die Paare bei $\pm E$ sind nicht verschobene
Zustände: Bogolyubov-Quasizustände = kohärente
Superposition von Elektronen und Löchern.

Zustand bei:

Energie E hat Operator $a^+ = Uc^+ + Vc$

Partnerzustand bei $-E$: $(a^+)^{\dagger} = a$

Besetzung bei $-E$ ^{Antibild} = Vernichtung bei E

\Rightarrow Wenn ein Paar von Bogolyubov-Zuständen bei E durch Energie $= 0$ läuft, dann wechselt die Anregungsenergie E das Vorzeichen und es wird günstig, ein Bogolyubov-Q.T. zum Q.P. hinzufügen bzw. zu entfernen.

Nulldurchgänge \equiv Änderungen der Fermionen-Parität im Grundzustand zwischen gerade und ungerade.

Solange es keine Nulldurchgänge gibt, ist im Hdg die Fermionen-Parität erhalten

\Rightarrow Grundzustands-Parität = topologische Invariante
Die Wahl des topologisierten Invariante hängt vom System bzw. dessen Symmetrien ab.

Pfaff'sche Invariante ("Pfaffian")

Basistransformation: $\tilde{H}_{BdG} = \frac{1}{2} \begin{pmatrix} 1 & 1 \\ i & -i \end{pmatrix} H_{BdG} \begin{pmatrix} 1 & -i \\ 1 & i \end{pmatrix}$

$$\Rightarrow \tilde{H}_{BdG} = \frac{1}{2} \begin{pmatrix} H - H^* + \Delta - \Delta^* & -i(H - iH^* + i\Delta + i\Delta^*) \\ i(H + iH^* + i\Delta + i\Delta^*) & H - H^* - \Delta + \Delta^* \end{pmatrix}$$

antisymmetrisch

Δ ist antisymmetrisch. Da H hermitisch ist, ist $H - H^*$ auch antisymmetrisch, und $H + H^*$ ist symmetrisch $\Rightarrow \tilde{H}_{BdG}$ ist antisymmetrisch

$$(\tilde{H}_{BdG}^+ = -\tilde{H}_{BdG})$$

Die Pfaff'sche Invariante ist für antisymmetrische Matrizen definiert: Idee ist, dass die Eigenwerte paarweise auftreten $\pm E_n$

Determinante: $\prod_n (-E_n^2)$

Pfaffian \rightarrow Wurzel der Determinante

$$= \pm i \prod_n E_n$$

so dass das Produkt eindeutig definiert ist.

Bei Änderung der Parität ändert ein einzelner E_n

das Vorzeichen, so dass die Pfaffian das VZ ändert, während die Determinante sie nicht ändert.

$$Q_{RdG} \equiv \text{sign} [\text{Pf}(iH_{RdG})]$$

damit Pfaffian reell wird

$$\text{Pf}(A) = \sqrt{\det(A)}$$

Beispiele:

$$A = \begin{bmatrix} 0 & a \\ -a & 0 \end{bmatrix} \Rightarrow \text{Pf}(A) = a$$

$$B = \begin{bmatrix} 0 & a & b & c \\ -a & 0 & d & e \\ -b & -d & 0 & f \\ -c & -e & -f & 0 \end{bmatrix} \Rightarrow \text{Pf}(B) = af - be + dc$$

Zusammenfassung

(9.1)

- einfachste topologische Invariante: Zahl der negativen-Energie-Zustände (nulle Chernzahl)
- Erhaltungssatz (unitäre Symmetrie) $\Rightarrow H$ blockdiagonal
 \rightarrow betrachte Topologie der Blöcke
- Zahl der besetzten Zustände ist gerade für Spin-Unguale tr.s - Systeme (Kramers-Theorem)
- Untergitter-Symmetrie: # gefüllter Zustände konstant
- Teildra-Lad-Symmetrie (Ladungskonjugationsymmetrie);
nulle Chernzahl konstant, aber generiert
neue Invariante: Vorzeichen des Pfaffian
 \rightarrow zwei Werte $\pm 1 \equiv$ Parität der Elektronenzahl

Symmetrien und Erhaltungssätze
definieren den Typ und die
Existenz topologischer Invarianten.

9.2 1D-Beispiel: Bulk-Edge-Korrespondenz
in der Kitaev-Kette

Fermionen: c, c^+ $cc^+ + c^+c = 1$
 $c^2 = 0 = c^{+2}$

Zwei Zustände $|0\rangle, |1\rangle$ mit $c^+|0\rangle = |1\rangle$ $c|0\rangle = 0$
 $c|1\rangle = |0\rangle$ $c^+|1\rangle = 0$

Andere Schreibweise eines komplexen Dirac-Fermions
mit reellen Majorana-Operatoren γ_1, γ_2 :

$$c^+ = \frac{1}{2} (\gamma_1 + i\gamma_2)$$

$$c = \frac{1}{2} (\gamma_1 - i\gamma_2)$$

Inverses:

$$\gamma_1 \equiv c + c^+$$

$$\gamma_2 \equiv i(c - c^+)$$

$$\boxed{\begin{aligned}\gamma_1^+ &= c^+ + c = \gamma_1 \\ \gamma_2^+ &= -i(c^+ - c) = \gamma_2\end{aligned}}$$

✳

⇒ es existiert kein Besetzungszahloperator für Majoranas!

Normale Fermionen: $\hat{n} = c^+c$ mit $c^+ \neq c$

$$\Rightarrow \langle 0 | \hat{n} | 0 \rangle = 0$$

$$\langle 1 | \hat{n} | 1 \rangle = 1$$

Majoranas: $\gamma_1 + \gamma_1^* \stackrel{(*)}{=} \gamma_1^2 = \underbrace{c^{+2} + c^2}_{=0} + \underbrace{cc^+ + c^+c}_{=1} = 1$

$$\Rightarrow \langle 4 | \gamma_1^+ \gamma_1 | 4 \rangle = 1 \text{ unabhängig von } |4\rangle !$$

Außerdem $\gamma_1 \gamma_2 + \gamma_2 \gamma_1 = 0$ - Antikommutation
 → "Fermionen"

Wegen $c^+ = \frac{1}{2}(\gamma_1 + i\gamma_2)$ können wir Majoranas
 P ↗ ↘
 komplex real real
 (hermitisch)

als Real- und imaginärteil eines Fermions
 auffassen. Majoranas bestehen nur paarweise.

Kann man zwei Majoranas voneinander trennen?

Domino-Modell

| $\gamma_1 \gamma_2$ | $\gamma_3 \gamma_4$ | $\gamma_5 \gamma_6$ | $\gamma_7 \gamma_8$ |
|---------------------|---------------------|---------------------|---------------------|
| • • | • • | • • | • • |
| $n=1$ | $n=2$ | $n=3$ | $n=4$ |

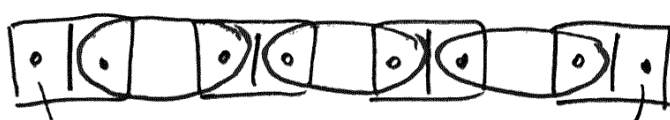
$$H_\mu = -\mu \hat{N} = -\mu \sum_{n=1}^N c_n^+ c_n \stackrel{\dagger}{=} \text{Fermionen-Füllung}$$

$$\stackrel{\dagger}{=} \frac{i}{2} \mu \sum_{n=1}^N \gamma_{2n-1} \gamma_{2n} \stackrel{\dagger}{=} \text{Majorana-Paarung}$$



keine ungepaarten Majoranas;
 Paarungsenergie $\pm |\mu|/2$
 ⇒ Anregungen mit Energiedicke

Aber wir wollen sie trennen:



ungepaarte Majoranas am Rand

$$\Rightarrow H_t = i\tau \sum_{n=1}^{N-1} \gamma_{2n} \gamma_{2n+1} \stackrel{\cong}{=} \text{fermion-Hopping}$$

$\Rightarrow \gamma_1$ und γ_{2N} tauchen in H_t nicht auf

$\Rightarrow H_t$ hat zwei Energie-Null-Zustände ("zero modes"), die am Rand lokalisiert sind

\Rightarrow alle anderen Zustände haben Energie $\pm |t|$

\rightarrow 1D-System mit Anregungsbändern im Inneren ("bulks") und zero modes am Rand

Kitaev-Kette

$$\text{Nutze } \gamma_{2n-1} = (c_n^+ + c_n)$$

$$\gamma_{2n} = -i(c_n^+ - c_n)$$

$$\text{bzw. } c_n^+ = \frac{1}{2}(\gamma_{2n-1} + i\gamma_{2n})$$

$$c_n = \frac{1}{2}(\gamma_{2n-1} - i\gamma_{2n})$$

$$c_{n+1}^+ = \frac{1}{2}(\gamma_{2n+1} + i\gamma_{2n+2})$$

$$c_{n+1} = \frac{1}{2}(\gamma_{2n+1} - i\gamma_{2n+2})$$

Tight-binding-Modell für 1D-Supraleiter:

$$H = -\mu \sum_n c_n^+ c_n - t \sum_n (c_{n+1}^+ c_n + h.c.) + \Delta \sum_n (c_n c_{n+1} + h.c.)$$

3 reelle Parameter:

chemisches Potential μ

Hoppingintegral t

Paarungsenergie Δ

Um schreiben im Majorana-Darstellung:

$$\Delta c_n c_{n+1} + h.c. = \frac{\Delta}{4} (\gamma_{2n-1} \gamma_{2n+1} - \gamma_{2n} \gamma_{2n+2} - i \gamma_{2n} \gamma_{2n+1} - i \gamma_{2n-1} \gamma_{2n+2})$$

$$+ \frac{\Delta}{4} (\gamma_{2n+1} \gamma_{2n-1} + \gamma_{2n+2} \gamma_{2n} + i \gamma_{2n+1} \gamma_{2n} + i \gamma_{2n+2} \gamma_{2n-1})$$

$$= \frac{i\Delta}{2} (\gamma_{2n+1} \gamma_{2n} + \gamma_{2n+2} \gamma_{2n-1})$$

$$-t c_{n+1}^+ c_n + h.c. = \dots = \frac{it}{2} (\gamma_{2n+1} \gamma_{2n} - \gamma_{2n+2} \gamma_{2n-1})$$

\Rightarrow falls $\Delta = t$ verschwinden die $\gamma_{2n+2} \gamma_{2n-1}$ Terme

falls zusätzlich $\mu = 0$ dann entspricht H exakt



$\rightarrow \Delta = t \neq 0, \mu = 0$ erzeugt ungepaarte Majorana-Randmoden

Andererseits: $\mu \neq 0, \Delta \neq t = 0$ ergibt trivialen
voll gepaarten Zustand

\Rightarrow da zwischen muss es einen Phasenübergang geben

Erinnerung: Nützlichkeit der BdG-Darstellung

$$H = \frac{1}{2} C^T H_{\text{BdG}} C$$

$$C \equiv (c_1, \dots, c_N, c_1^+, \dots, c_N^+)^T$$

H_{BdG} \rightarrow $2N \times 2N$ Matrix

\rightarrow kann mittels Pauli-Matrizen im Teildos-Loch-Raum geschrieben werden und $|n\rangle = (0, \dots, 0, \underset{n}{1}, 0, \dots, 0)^T$ einem Spaltenvektor
für n-tes Platz der Kette.

Z.B. $C^T T_z |n\rangle \langle n| C = 2 c_n^+ c_n - 1$.

$$H_{\text{BdG}} = - \sum_n \mu T_z |n\rangle \langle n| - \sum_n [(t T_z + i \Delta \tilde{T}_y) |n\rangle \langle n+1| + \text{h.c.}]$$

H_{BdG} wirkt auf Zustände in Basis $|n\rangle / T \rangle$ mit
 $T = \pm 1$ für Elektronen-/Lochzustände.

H_{BdG} hat phs: $P H_{BdG} P^{-1} = -H_{BdG}$

$$P = J_x / K \quad (\text{s. phs-Abschnitt})$$

Nachrechnung:

$$P H_{BdG} P^{-1} = -\sum_n \left[\mu J_x T_z J_x |n\rangle\langle n| + (t \bar{T}_x T_z \bar{T}_x + i\Delta T_x T_y^* \bar{T}_x) |n\rangle\langle n+1| + \text{h.c.} \right]$$

nutze $T_x T_z \bar{T}_x = -\bar{T}_z$

$$\bar{T}_x T_y^* \bar{T}_x = \bar{T}_y$$

$$\Rightarrow P H_{BdG} P^{-1} = -H_{BdG} \checkmark$$

Topologischer Schutz der Majorana-Randmoden

Ist finetuning ($\mu=0$, $t=\Delta$) nötig, um un gepaarte Majoranas zu bekommen?

Was passiert bei $\mu \neq 0$?

→ Übung: berechne Energiespektrum und Eigenzustände einer endlichen Kitaev-Kette

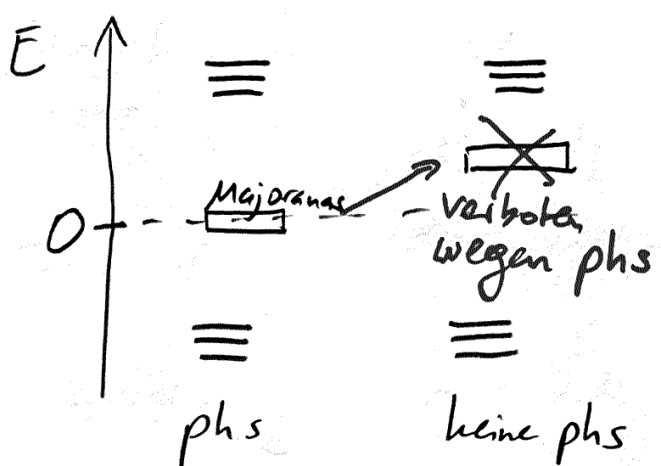
Antwort: Für $\mu \approx 2t$ schließt sich die Energielücke im bulk und die Randmoden verschmelzen mit den bulk-Zuständen

kein Finetuning nötig:

Majorana - Randmoden sind geschützt durch
(Majorana zero modes, MZM)
Bulk - Anregungslücke und phs.

Bemerkung: experimentell ist es dennoch nach
wie vor offen, ob man die Majoranas re-
alisiieren kann. Problem: Unordnung und
Sensitivität der Transportmessungen auf
die Qualität der Kontakte.

Ideal fall:



\Rightarrow man muss Bulk-Anregungslücke schließen,
um MZM zu zerstören.

Grund: "Bulk-Edge-Korrespondenz"

\rightarrow Info über Randmoden berübt in Bulkzuständen
enthalten!

Topologische Phasen im Bulk

Betrachte jetzt Kette mit periodischen Randbedingungen (PBC):

Impultraum:

$$|k\rangle = (N)^{-1/2} \sum_{n=1}^N e^{-ikn} |n\rangle$$

$$\text{PBC: } \langle k | n=0 \rangle = \langle k | n=N \rangle$$

$\Rightarrow k$ gute Quantenzahl, Werte $\frac{2\pi}{N} p$

$$p = 0, \dots, N-1$$

$N \rightarrow \infty: k \in [-\pi, \pi) = 1.$ Brillouinzone

$$H_{BdG} = \sum_k H(k) |k\rangle \langle k|$$

$$H(k) = \langle k | H_{BdG} | k \rangle = (-2t \cos k - \mu) T_x$$

$$+ 2\Delta \sin k T_y$$

$$N \rightarrow \infty: \frac{1}{N} \sum_k \rightarrow \int_{-\pi}^{\pi} \frac{dk}{2\pi}$$

Teilchen-Loch-Symmetrie im Impultraum:

$$\text{Wirkung } K \text{ auf } e^{-ikn}: K e^{-ikn} = e^{+ikn}$$

$$\Rightarrow P |k\rangle |\tau\rangle = \left(\sum_n e^{-ikn} \right)^* |n\rangle J_x |\tau\rangle^* = |-k\rangle J_x |\tau\rangle^*$$

$\Rightarrow P$ überführt $k \rightarrow -k$

$$PH_{BdG}P^{-1} = \sum_k J_x H^*(k) T_x |-k\rangle \langle -k| \stackrel{\text{Summation } k}{=} \sum_k J_x H^*(-k) T_x |k\rangle \langle k|$$

Summation k
= Summation $-k$

$$\Rightarrow \boxed{\text{phys } PH_{BdG}P^{-1} = -H_{BdG}}$$

$$\Leftrightarrow H(k) = -T_x H^*(-k) T_x$$

Check: $T_x H^*(-k) T_x = (+2t \cos k + \mu) T_z - 2\Delta \sin k T_y$
 $= -H(k)$

Teilden-Lad-Symmetrie im k -Raum

\Rightarrow für Lösung E und k existiert auch
Lösung $-E$ und $-k$

Bandstruktur:

$$\text{Diagonalisiere } H(k) = \begin{bmatrix} -2t \cos k - \mu & -2i\Delta \sin k \\ 2i\Delta \sin k & 2t \cos k + \mu \end{bmatrix}$$

$$\Rightarrow E(k) = \pm \sqrt{(2t \cos k + \mu)^2 + 4\Delta^2 \sin^2 k}$$

\Rightarrow Energiedücke für alle k bei $\mu = 0$

[Frage: Warum keine MZM?]

\Rightarrow Brillouin-Lücke schließt sich für $\mu = \pm 2t$

+ : Bandberührung bei $k=\pi$

- : —
—
 $k=0$

Ist dort ein Phasenübergang?

Schreibe zuerst effektives Modell nahe des erwarteten Phasenübergangs hin!

Effektives Dirac-Modell:

Fokus auf $\mu = -2t$ und $k=0$.

Taylor-Linearisierung:

$$H(k) \approx m\tau_2 + 2\Delta k \tau_y$$

$$m = -\mu - 2t \equiv \text{Massetermin}$$

$$H(k) = \begin{bmatrix} m & -2i\Delta k \\ 2i\Delta k & -m \end{bmatrix}$$

$$\Rightarrow E(k) = \pm \sqrt{m^2 + 4\Delta^2 k^2}$$

berechne Pfaffian!

\Rightarrow Massetermin ist entscheidend.

• $m < 0$ für $\mu > -2t$: topologische Phase

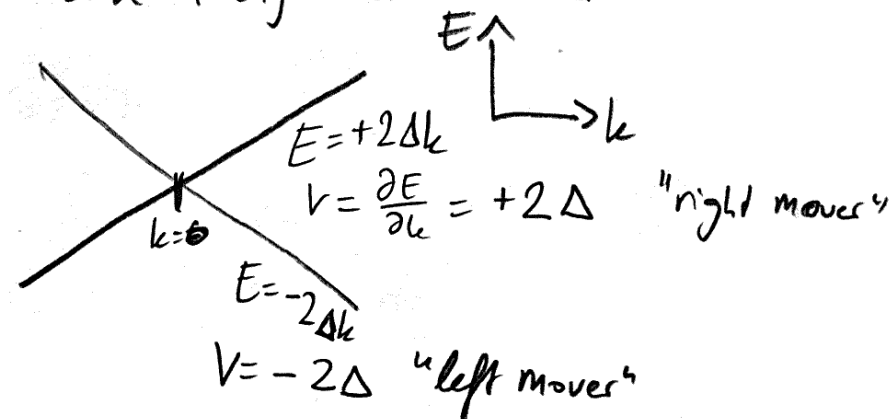
• $m > 0$ für $\mu < -2t$: triviale Phase

siehe später

Was passiert am Phasenübergang bei $m=0$?

$m=0$: $H(k)$ hat zwei Eigenzustände $E = \pm 2\Delta k$,
diese sind Eigenzustände von T_y

\Rightarrow Elektron-Loch-Überlagerungen mit gleichem Anteil
 \Rightarrow diese sind Majorana-Moden



$\Rightarrow m=0$: zwei Zweige mit frei beweglichen Majorana-

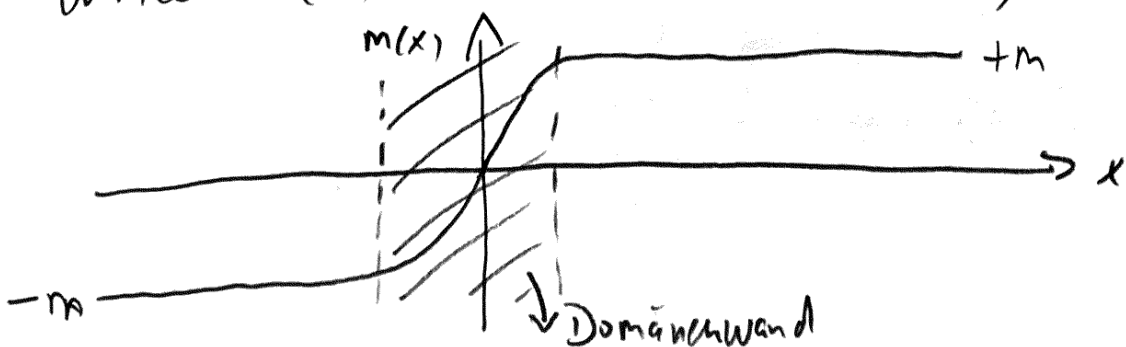
Majorana-Moden an Domänenwänden

Was passiert, wenn m im Realraum das

Vorzeichen wechselt? Kontinuumsmodell mit $k \rightarrow -i\partial_x$.

$$H(x) = -V T_y i \partial_x + m(x) T_z \quad (*)$$

Wähle $m(x) \rightarrow \pm m$ für $x \rightarrow \pm\infty$, $m(x=0) = 0$



Für Mzn gilt $H\psi = 0$.

Multipliziere $\textcircled{*}$ von links mit iT_y :

$$iT_y H \psi = (V \partial_x - m(x) T_x) \psi(x) = 0$$

$$\begin{aligned} T_y^2 &= \mathbb{1} \\ iT_y T_x &= -T_x \end{aligned}$$

$$\Rightarrow \partial_x \psi(x) = \frac{1}{V} m(x) T_x \psi(x)$$

$$\Rightarrow \psi(x) = \exp \left[T_x \int_0^x \frac{m(x')}{V} dx' \right] \psi(0)$$

\Rightarrow zwei linear unabhängige Lösungen via Eigenzustände

von T_x :

$$\psi(x) = \exp \left[\pm \int_0^x \frac{m(x')}{V} dx' \right] \begin{bmatrix} 1 \\ \pm 1 \end{bmatrix}$$

\Rightarrow nur eine davon normierbar (+-twig divergiert)

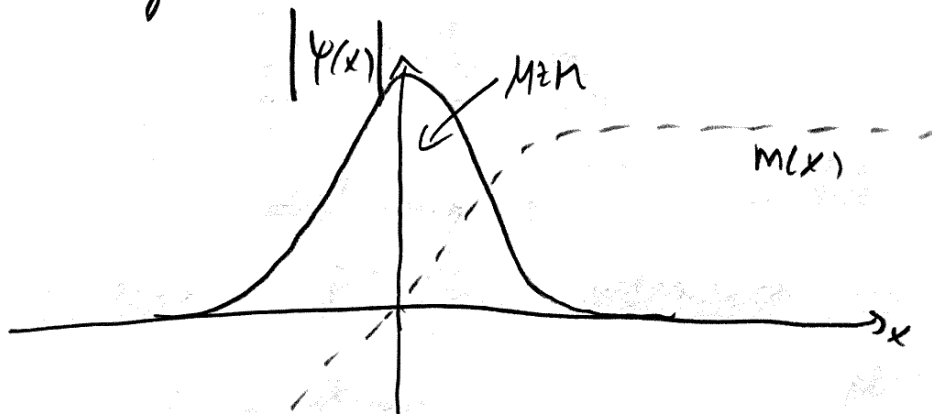
\Rightarrow gebundener Zustand, der um die Domänenwand lokalisiert ist - existiert nur dank Vz - wechselt von $m(x)$!

Tiefster physikalischer Grund für dessen Existenz:

$x < 0$: topologische Phase

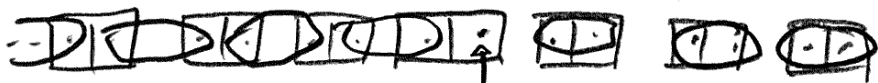
$x > 0$: triviale Phase

→ an der Grenzfläche muss eine Null-Energie-Mode existieren



topologische Phase | Domänenwand | triviale Phase

Domino-Bild:



Domänenwand mit $M_{\pm N}$

Topologische Invariante im Bulk

Effektives Modell: VZ des Miserterms half uns, Topologie zu verstehen. Welche topologische Invarianten können wir dafür allgemeiner nutzen?

Heuristische Herleitung:

- BdG Hamiltonian: VZ der Pfaffian bei phs; Pfaffian wechselt VZ bei Lichenschluss. Könne wir das Vt von m mit einer Pfaffian-Invariante in Verbindung bringen?
- H_{BdG} : große Matrix mit phs
⇒ berechne antisymmetrische Form von H_{BdG} und deren Pfaffian?
- VZ der Pfaffian ändert sich nur bei Null durchgang eines Eigenwerts.
phs $\Rightarrow E(k)$ kommen paarweise
 $+E(+k) \& -E(-k)$

Nur zwei Ausnahmen:

$$k=0 \quad \text{und} \quad k=\pi \quad \text{"invariante Impulse"}$$

bilden unter $k \rightarrow -k$ auf sich selbst ab

$$\text{phys: } T_x H^*(0) T_x = -H(0)$$

$$T_x H^*(\pi) T_x = -H(\pi)$$

$\Rightarrow H(0)$ und $H(\pi)$ können individuell antisymmetrisiert werden.

- Wissen berab: Massenterme dienen VZ bei 0 oder π .
 \Rightarrow ergibt sich, sich auf diese beiden Impulse zu fokussieren.

Antisymmetrisierung:

$$\tilde{H}(0) = \frac{1}{2} \begin{pmatrix} 1 & 1 \\ i & -i \end{pmatrix} \begin{pmatrix} -2t-\mu & 0 \\ 0 & 2t+\mu \end{pmatrix} \begin{pmatrix} 1 & -i \\ 1 & i \end{pmatrix} = -i \begin{pmatrix} 0 & -2t-\mu \\ 2t+\mu & 0 \end{pmatrix}$$

$$\tilde{H}(\pi) = \frac{1}{2} \begin{pmatrix} 1 & 1 \\ i & -i \end{pmatrix} \begin{pmatrix} 2t-\mu & 0 \\ 0 & -2t+\mu \end{pmatrix} \begin{pmatrix} 1 & -i \\ 1 & i \end{pmatrix} = -i \begin{pmatrix} 0 & 2t-\mu \\ \mu-2t & 0 \end{pmatrix}$$

$$\Rightarrow \text{Pf}(i \tilde{H}(0)) = -2t-\mu \rightarrow \text{VZ-Wechsel bei } \mu = -2t$$

$$\text{Pf}(i \tilde{H}(\pi)) = 2t-\mu \rightarrow \text{VZ-Wechsel bei } \mu = +2t$$

Topologische Invariante:

$$Q = \text{sign} \left[\text{Pf}[i\tilde{H}(0)] \text{Pf}[i\tilde{H}(\pi)] \right]$$

$Q = -1$: topologische Phase \rightarrow

$Q = +1$: triviale Phase

-Dgl. mit Rechnungen für endliche Kette

Die topologische Invariante kann sich nicht ändern unter kontinuierlichen Deformationen von H , außer es schließt sich die Energiedicke.

Verbindung zwischen Bulk-Invariante Q und Randmoden:

Welche physikalische Bedeutung hat Q ?

Vorzeichen von $\text{Pf}[i\tilde{H}(0)] \text{Pf}[i\tilde{H}(\pi)]$: wir vergleichen fermionische Paritäten zwischen $k=0$ und $k=\pi$:

$Q = -1 \Leftrightarrow$ verschiedene Paritäten

\Rightarrow Wenn wir $H(0)$ kontinuierlich in $H(\pi)$ deformieren, ohne phs zu brechen, muss sich eine Fermion-Parität - Änderung ereignen (Energie-Nulldurchgang).

Implementierung:

Gehe von periodischen zu antiperiodischen Randbedingungen
 (PBC) $(APBC)$

$$\langle k | n=0 \rangle = - \langle k | n=N \rangle$$

$$\Rightarrow \text{erlaubte Impulse } k = \frac{2\pi}{N} p + \frac{\pi}{N} \quad \left. \right\} \begin{matrix} p=0, \dots, N-1 \\ (k = \frac{2\pi p}{N}, p=0, \dots, N-1) \end{matrix}$$

\Rightarrow Wie ändert sich Parität zwischen PBC- und APBC-Kette?

$k=0 \rightarrow$ immer existent

$k=\pi \rightarrow$ existiert für $\begin{cases} N \text{ gerade mit PBC} \\ N \text{ ungerade mit APBC} \end{cases}$

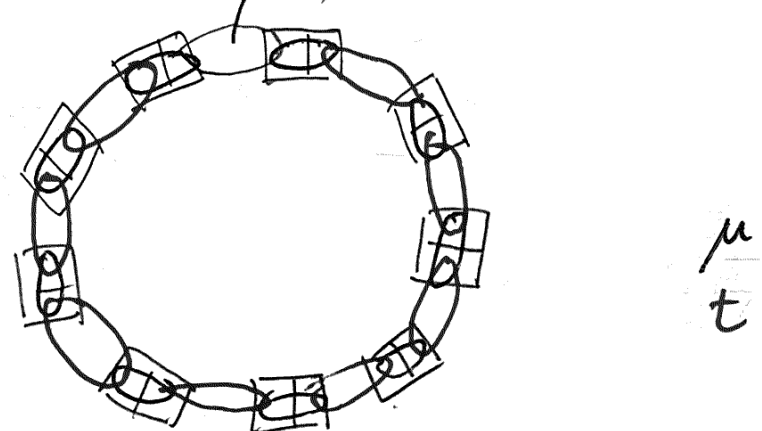
\Rightarrow in beiden Fällen (N gerade oder ungerade) ist der Unterschied zwischen Fermionparitäten bei PBC versus APBC.

Beispiel: Kitaev-Ring mit $\Delta=t$. Andere Hopping-Element $t \rightarrow -t$ auf letzten Bond zwischen $n=N-1$ und $n=0$.

Dieser MT-Wert entspricht genau dem PBC-APBC-Übergang.

Kontinuierliche Art, dies zu tun, ohne phs zu

brechen: Letztes Hopping = $t(1-2)$, $\lambda \in [0, 1]$:



$\mu < 2t$: $E(\lambda)$ geht durch 0 bei $\lambda = \frac{1}{2}$

\Rightarrow unterschiedliche Parität bei $\lambda=0$ vs. $\lambda=1$

$\lambda = \frac{1}{2}$: Kette unterbrochen ($t=0$ auf leeren Bond)

\Rightarrow zwei MZM in topologischer Phase

$\mu > 2t$: kein Nullübergang

\Rightarrow selbe Parität $\lambda=0$ vs. $\lambda=1$

$\lambda = \frac{1}{2}$: keine MZM \Rightarrow konsistent mit trivialer Phase

Essenz der Bulk-Boundary-Korrespondenz:

$Q = -1$ = nichttriviale Bulk-Invariante

impliziert Existenz ungepaarter Majoranas
in offener Kette

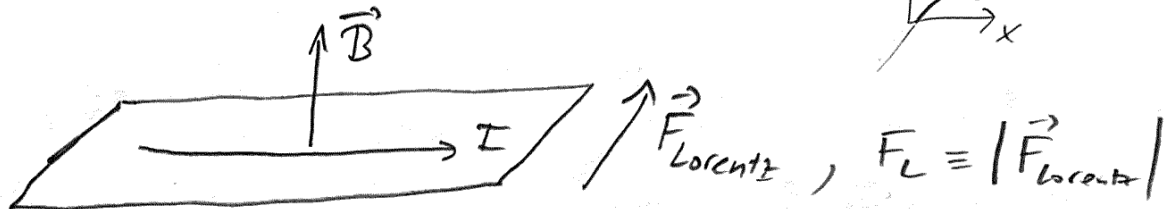
Verbindung $Q \leftrightarrow$ messbarer Größe: Grundzustands-Fermionenparität.

Testfrage: Was passiert, wenn wir ein 100-site-Kitaevkette und das topologischen Phasenachmen und es auf einer stark negativen Wert (triviale Phase) auf den letzten 50 Sites setzen?
(wählen alle korrekte Antworten)

- (A) Lücke auf den letzten 50 Sites schließt und öffnet sich dann wieder
- (B) Majoranas werden zerstört
- (C) Eins der Majoranas beregt sich vom Ende zur Mitte der Kette

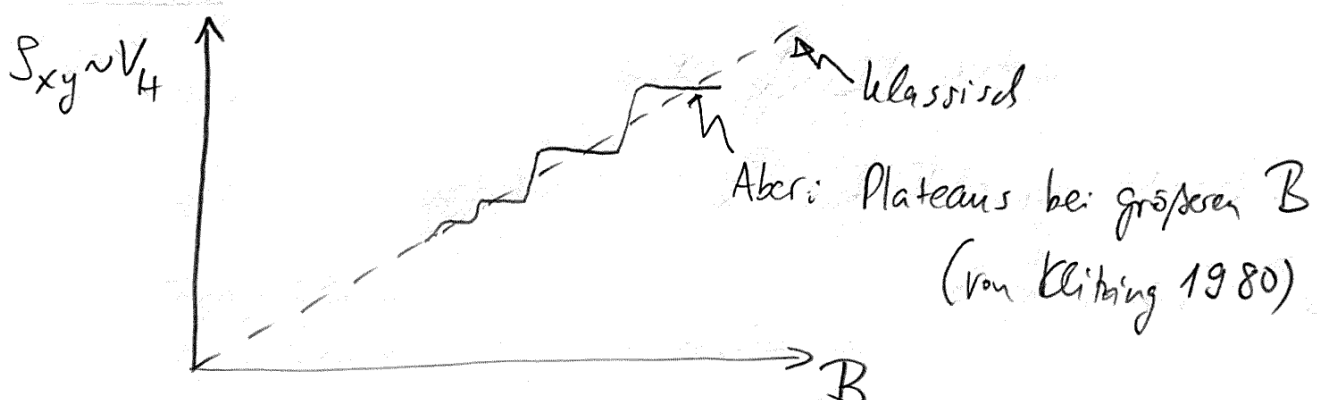
9.3 Quanten-Hall-Effekt (QHE)

Klassischer Hall-Effekt:



\Rightarrow Hall-Spannung (V_H) baut sich auf, die der Lorentz-kraft entgegenwirkt

$$\text{Wegen } F_L \sim B \Rightarrow V_H \sim B$$



S_{xy} = Hall-Widerstand ändert sich nicht über größere B -Bereiche und ist quantisiert!

$$S_{xy} = \frac{1}{e} \frac{h}{e^2}, \frac{h}{e^2} = 25\,812,807 \Omega \\ = R_K$$

von-Klitzing-Konstante

integer quantum Hall effect = IQHE

Es gilt $\vec{J} = \underline{\sigma} \vec{E}$

$$\begin{pmatrix} \sigma_{xx} & \sigma_{xy} \\ \sigma_{yx} & \sigma_{yy} \end{pmatrix} = \begin{pmatrix} \tau_{xx} & \tau_{xy} \\ \tau_{yx} & \tau_{yy} \end{pmatrix}^{-1} = \frac{h}{8\pi^2} \begin{pmatrix} 0 & -1 \\ 1 & 0 \end{pmatrix}$$

(Zeitumkehrsymmetrie durch B -Feld gebrochen)

Thouless, Kohmoto, Nightingale, den Nijs (TKNN):

IQHE ist topologisches Phänomen und steht in Verbindung mit topologischer Invariante

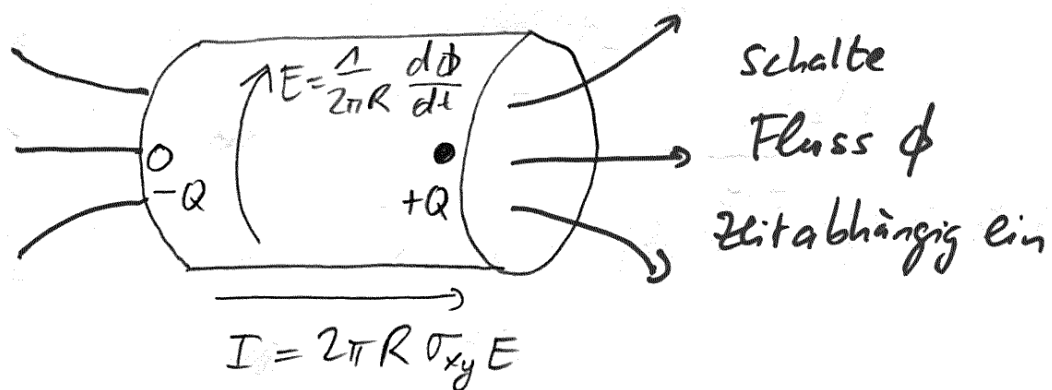
C = Chern-Zahl.

Gleichzeitig ist der longitudinale Widerstand $\sigma_{xx} = 0$, da Strom und E -Feld senkrecht aufeinander stehen.
Daher ist kuriosweise auch $\tau_{xx} = 0$ (siehe Matrixstruktur oben.)

Höhere T : Aktivierungsverhalten $\sim e^{-T_0/T}$ von σ_{xx} und σ_{yy}
 \rightarrow System hat Bulk-Energiedichte.

Diese Lücke muss sich am Rand der Probe schließen!

Betrachte Zylinder eines IQHE-Materials mit Radius R :



Fluss \Rightarrow azimuthales \vec{E} -Feld \Rightarrow Strom

\Rightarrow Polarisation mit Ladung Q zwischen den Rändern.

Diese Ladung kann wegen $T_{xx} = 0$ nicht relaxieren.

\Rightarrow Ladungskumulation \Rightarrow dafür braucht es Zustände

Da die Störung (Magnetfeld) langsam ist und klein.

(nur ein Flussquantum), ist es eine Niederenergie-Angabe und schaltet wie $1/\text{Systemgröße}$.

\Rightarrow diese angeregten Zustände müssen nach chemischer Potentiale liegen.

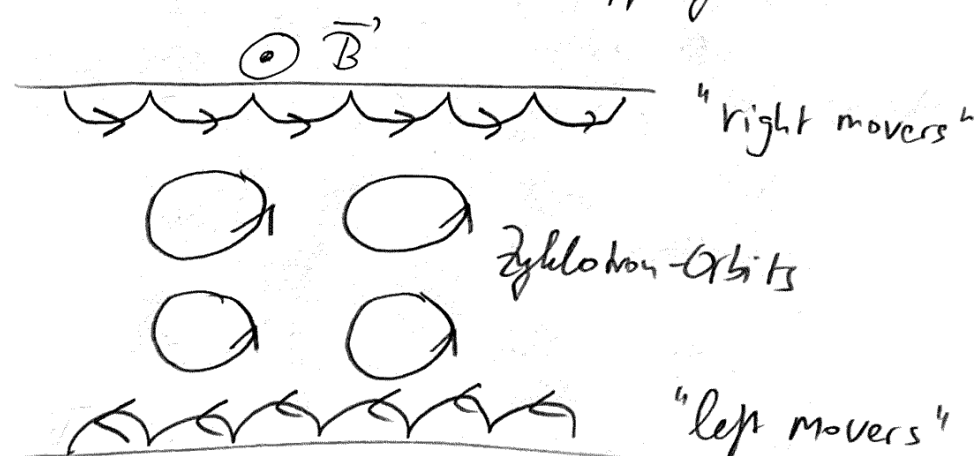
\Rightarrow Energiedichte muss am Rand verschwinden

\Rightarrow An Grenzfläche zwischen Regionen verschiedener Hall-Leitfähigkeiten muss sich Energiedichte schließen!
(vgl. Domänenwand in Kitaev-Kette!)

zugrundeliegende Physik: Elektronen bewegen sich in Landau-Niveaus (Zyklotron-Orbits). Wichtige Rolle von Unordnung: In reiner Probe werden Landau-Niveaus kontinuierlich gefüllt und man sieht keine Plateaus! Durch Unordnung gibt es lokalisierte Zustände zwischen Landau-Niveaus; während diese gefüllt werden, treten Plateaus auf.

Chirale Randzustände:

quasiklassisches Bild "skipping orbits"



("Bulk-Boundary-Korrespondenz")

9.4 Chern - Isolatoren

Strategie, um ein Gittermodell für den Quanten-Hall-Effekt zu konstruieren:

Idee: Kitaev-Kette half uns, Majorana-Randmoden zu verstehen. QHE: man kann QHE durch 2D Elektronen in Magnetfeld bekommen. Jetzt:

Wollen einfaches tight-binding-Modell für QHE basteln, am besten sogar ohne äußeres Magnetfeld.

Solche Systeme heißen Chern - Isolator (CI).

QHE ohne Magnetfeld: quantum anomalous Hall effect (QAHE).

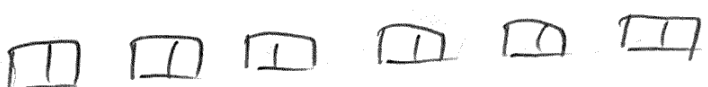
Erstes CI-Modell: Haldane 1988 - Graphen - artiges Honigwabengitter mit speziellem Extra-Hopping - (\rightsquigarrow Nobelpreis 2016).

Zwei wichtige Aspekte:

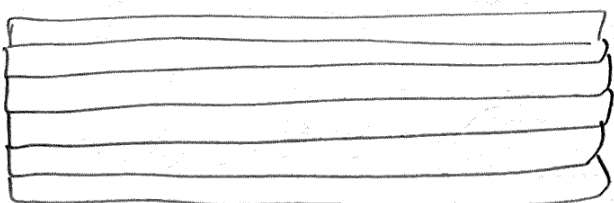
- QHE kann nicht isoliert vom Bulk existieren
- Idee à la Domino: finde niedrigdimensionale Baustein

Domino-Idee: von 0D nach 1D durch Verkettung

von Majorana-Paaren (fermionische Sitter) und
geeignete Kopplungssterne, die zu energetisch
isolierter Null-Energie-Randmoden (MEI)
führen:

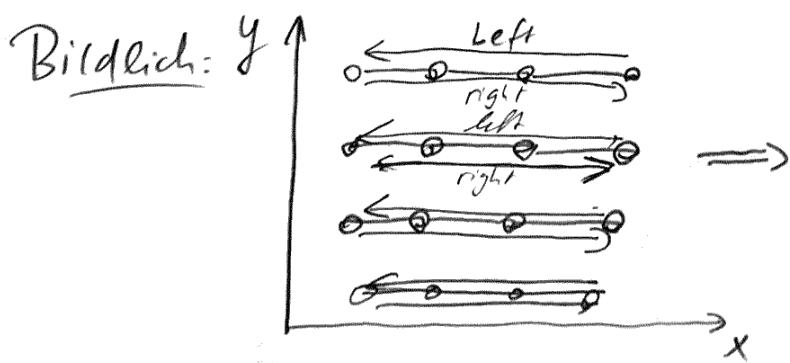


Jetzt: von 1D nach 2D



Strategie:

- 1D-System, das chirale Randmoden ("slipping orbits" im quasiklassischen Bild) enthält
- left + right movers in derselben Kette
- stecke diese 1D-Legostücke zu einem 2D-System zusammen



Ungepaarte
chirale
Randmoden!

ergänne Kettenwechselwirkung,
sodass im Bulk geschlossene
Orbits entstehen!

1D-Kette mit left und right movers:

Erinnerung: am Phasenübergang von trivialer zu topologischer Phase der Kitaev-Kette hatten wir ein Paar von linear dispergierenden Moden gefunden — Dirac-Modell:

$$H = \Delta k T_y$$

Kitaev-Kette: $H(k) = -2t \cos k T_z + \Delta \sin k T_y$

Kritischer Punkt

$$\mu = -2t : H(k) = -2t(\cos k - 1) T_z + \Delta \sin k T_y$$

Nahe $k=0$: Paar von Zuständen mit Wellenfunktionen, die Eigenzustände von T_y mit Eigenwerten ± 1 entsprechen. \Rightarrow entgegengesetzte Geschwindigkeiten

Problem: Kitaev-Modell enthält Supraleitung, wir hätten gern Modell ohne Supraleitung

Lösung: Uminterpretation der T -Matrizen — sie sollen auf den Raum der Left + right Mover wirken (zwei fermionische Spezies anstelle von Elektronen + Löchern)

Generische Strategie: Phasenübergänge niedriger-dimensionalen Modelle sind oft geeignete Startpunkte, um topologische Modelle in $D+1$ zu konstruieren.

Modell-Hamiltonian:

- Stecke x -orientierte Ketten entlang y -Richtung zusammen
- Kettenindex n_y
- $k \rightarrow k_x$
- einzelne Kette:

$$[-(2t(\cos k_x + \mu) T_z + \Delta \sin k_x T_y)] \otimes \underbrace{|n_y\rangle\langle n_y|}_{\text{Projektion auf } n_y\text{-te Kette}}$$
- hopple $T_y = -1$ zw. einer Kette
 an $T_y = +1$ zw. der nächsten Kette,
 um geschlossene Orbits
 zu erwingen
- Idee: wir wollen einen R in einer L-Mover umwandeln, wenn er auf die nächste Kette hüpfst.
 Wie?

Betrachte $T_y = \begin{pmatrix} 0 & -i \\ i & 0 \end{pmatrix}$

$$|\Psi_{R/L}\rangle = \frac{1}{\sqrt{2}} \begin{pmatrix} \mp i \\ 1 \end{pmatrix}$$

Check: $T_y |\Psi_{R/L}\rangle = \frac{1}{\sqrt{2}} \begin{pmatrix} -i \\ \pm 1 \end{pmatrix} = \pm |\Psi_{R/L}\rangle$

Welche Kombination von Pauli-Matrizen erfüllt folgende Bedingung?

$$\hat{O} |\Psi_{R/L}\rangle = \begin{cases} 0 & \text{für } |\Psi_R\rangle \\ \propto |\Psi_L\rangle & \text{für } |\Psi_L\rangle \end{cases}$$

→ Ausprobieren!

Hinweis: Man braucht Linearkombinationen von T_z und T_x , dietrs bricht (analog zu \vec{B} -Feld)!

Lösung:

$$(\tilde{T}_z + i\tilde{T}_x)|\Psi_{R/L}\rangle = \begin{pmatrix} 1 & i \\ i & -1 \end{pmatrix} \frac{1}{\sqrt{2}} \begin{pmatrix} \mp i \\ 1 \end{pmatrix} = \frac{1}{\sqrt{2}} \begin{pmatrix} \mp i + i \\ \pm 1 - 1 \end{pmatrix}$$

$$= \begin{cases} 0 & \text{für } |\Psi_R\rangle \\ -2|\Psi_L\rangle & \text{für } |\Psi_L\rangle \end{cases} \quad \checkmark$$

• komplettiere H durch Summation über n_y

$$H = \sum_{n_y} \sum_{k_x} \left\{ \left[-(2t \cos k_x + \mu) \tilde{T}_z + \Delta \sin k_x \tilde{T}_y \right] \otimes |n_y\rangle \langle n_y| \right.$$

$$\left. - \left(e^{i\phi} |n_y\rangle \langle n_y+1| \otimes (\tilde{T}_z + i\tilde{T}_x) + h.c. \right) \right\}$$

$$\equiv \sum_{k_x} H(k_x)$$

→ dieses H sollte einen QAHE produzieren

(Erinnerung: müssen $\mu = -2t$ setzen, um freie R/L Mode in Ketten zu haben; behalte vorerst allgemeines μ bei.)

Energielücke und Randmoden:

Betrachte endliche Anzahl von Ketten $n_y = 1, \dots, N$.

Schreibe H als $N \times N$ Matrix von 2×2 Blöcken
in $|n_y\rangle$ -Basis.

Für $2t \cos k_x + \mu \approx 0$ und $\sin k_x \approx k_x$:
($\mu = -2t$)

$H(k_x \approx 0)$

$$\rightarrow \begin{bmatrix} \Delta k_x T_y & -\gamma(T_z + iT_x) & & \\ -\gamma(T_z - iT_x) & \Delta k_x T_y & -\gamma(T_z + iT_x) & \\ & -\gamma(T_z - iT_x) & \Delta k_x T_y & -\gamma(T_z + iT_x) \\ & & -\gamma(T_z - iT_x) & \Delta k_x T_y \end{bmatrix} \quad \text{z.B. für } N=4$$

Quiz: Finde Energieniveaus und Eigenwerte für $N=2$
und identifiziere die "Randmoden".

Nächster Schritt: Sind diese Randmoden die einzigen
Niederenergiezustände — ist der Bulle gezappt?

Übung: Unendliches System (nur Bulle)

→ finde $H(k_x, k_y)$, plotte $E(k_x, k_y)$

für $t=1, \Delta=0.3, \gamma=-0.5, \mu \in [-2, 0]$

Lösung: 2D Bloch-Hamiltonian

$$H(k_x, k_y) = [-(2t \cos k_x + \mu) T_z + \Delta \sin k_x T_y] \\ - 2\gamma [\cos k_y T_z + \sin k_y T_x]$$

$$E(k_x, k_y) = \pm \sqrt{\Delta^2 \sin^2 k_x + (2\gamma \cos k_x + \mu + 2t \cos k_x)^2} \\ + 4\gamma^2 \sin^2 k_y$$

⇒ immer Energielücke außer für $\mu = -2t - 2\gamma$

Übung: Betrachte endliches System entlang Y ("ribbon") und schaue nach den Randmoden

Details wie Bulk-Spektrum und Randmoden-Dispersion sind anders als beim QHE durch Magnetfeld. Aber Bulk-Edge-Korrespondenz verrät uns, dass die Randmoden ebenso robust sind wie beim QHE.

Dirac-Gleichung am Phasenübergang:

Bulk-Hamiltonian nahe des Phasenübergangs
bei $\delta = -(\mu + 2t + 2\gamma)$.

Definiere "Masse" $m \equiv -(\mu + 2t + 2\gamma)$

$$H_{\text{Dirac}}(\vec{k}) = \Delta k_x T_y - 2\gamma k_y T_x + M T_z$$

$$= \begin{bmatrix} m & -2\gamma k_y - i\Delta k_x \\ -2\gamma k_y + i\Delta k_x & -m \end{bmatrix}$$

Übergang: $m = 0$: masseloses Dirac-Modell

$m > 0$: topologische Phase

$m < 0$: triviale Phase

→ erinnert an Kitaev-Kette ($m(x) \leftrightarrow$ Domänenwand)

Hier: Fixiere $k_y = 0 \rightarrow$ identischer Hamiltonian
wie bei Kitaev-Kette

→ $M \neq 0$ war Eigenzustand von T_x mit Eigenwert $+1$

Aber hier: Nullmode nicht stationär

$$\epsilon(k_y) \approx -2\gamma k_y \text{ bei } k_x = 0$$

⇒ propagierende Mode mit Geschwindigkeit -2γ

Zusammenfassung (9.4)

- Beziehung Kitaev-Kette und Gittermodell für QHE (Chern-Isolator, QAHE)
- niedrigdimensionales Modell am kritischen Punkt
→ masselose Moden → kopple diese, um höherdimensionales Modell mit nichttriviale Topologie zu generieren
- QHE kann in translationsinvarianten Gittermodellen ohne Magnetfeld (aber mit chiralen Hüpftermen) realisiert werden.
- chirale Randmoden können nicht alleine existieren in 1D; 1D-Modell hat immer Paare von L+R Modes
→ die einzige Möglichkeit, nur L zu erzeugen (oder nur R), ist am Rand eines höherdimensionalen Systems

Genereller Zusammenhang: Verbogene Zustände in einer niedrigen Dimension und nichttriviale Topologie in höherer Dimension hängen zusammen.

9.5

Flusspumpen und die Berry-Phase

Erinnerung: QHE - Zylinder mit magnetischen Fluss Φ .



Beschreibe Magnetfeld mit Vektorpotential \vec{A} :

$$H(\vec{k}) \rightarrow H(\vec{k} - e\vec{A}) \quad \text{mit } \vec{A} = \frac{\Phi}{2\pi} \hat{z}$$

Fluss-Pumpen \leftrightarrow Änderung des Impulses

Fluss-Änderung um ganzzahliges Vielfaches eines

Flussquants: \vec{k} ändert sich um reciproken Gittervektor
 \Rightarrow Block-Hamiltonian kehrt zu sich selbst zurück

Vereinfachung: benutze 2D Quadratgitter mit
 $k_x, k_y \in [0, 2\pi]^2$

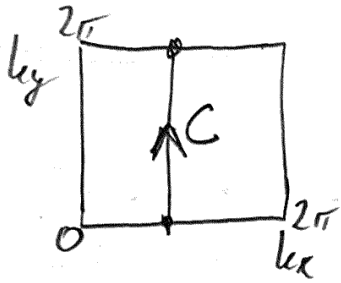
Adiabatische Zeitentwicklung eines Eigenzustands

$|\Psi(\vec{k})\rangle$ von $H(\vec{k})$ mit Energie $E(\vec{k})$.

$|\Psi(\vec{k})\rangle$ sollte dabei nicht entartet bleiben

\rightarrow adiabatisches Folgen möglich

Wähle Pfad $\vec{k}(t)$ mit $\vec{k}(0) = \vec{k}(T)$ periodisch



Was ist der finale Zustand bei $T \rightarrow 0$?

$$|\psi(k_x, k_y + 2\pi)\rangle \stackrel{?}{=} |\psi(k_x, k_y)\rangle e^{-i \int_0^T dt E(\vec{k}(t))}$$

Nein! Berry 1984: zusätzliche Phase γ

$$\gamma(C) = \oint \vec{A}(\vec{k}) \cdot d\vec{k} \quad \leftarrow \text{Berry-Phase}$$

$$\vec{A}(\vec{k}) = i \langle \psi(\vec{k}) | \vec{\nabla}_{\vec{k}} \psi(\vec{k}) \rangle \quad \leftarrow \text{Berry-Connection}$$

nicht das
Vectorpotential;
für das Argument
braucht man kein
reelles Magnetfeld

Berry-Phase = geometrische Phase

Später: $\gamma \leftrightarrow$ topologischer Charakter des
Hamiltonians und seiner Grund-
Einstandswellenfunktion

Fluss-Pumpen und Chernzahl:

$\gamma(k_x)$: Information über gepumpte Ladung während
des adiabatischen Zyklus.

Dabei war die gepumpte Ladung invariant, solange die
Energie gleich geblieben ist.

→ wähle E entlang k_x flach für festes k_y

→ lokalisierter Zustand innerhalb einer Einheitszelle in x-Richtung, da alle Wellenfunktionen unabhängig von k_x dieselbe Energie haben.

$$|\psi(n, t=0)\rangle = \int_0^{2\pi} dk_x e^{ik_x n} |\psi(k_x, k_y=0)\rangle$$

$$\Rightarrow |\psi(n, t=T)\rangle = \int_0^{2\pi} dk_x e^{ik_x n} e^{i(\gamma(k_x) - \Theta(k_x))} |\psi(k_x, k_y=0)\rangle$$

$$\Theta(k_x) \equiv \int_0^T dt E(k_x, k_y(t)) \text{ dynamische Phase}$$

Seltsam: während $\Theta(k_x)$ periodisch in k_x ist, da $E(k_x) = E(k_x + 2\pi)$, ist die einzige Einschränkung für $\gamma(k_x)$, dass es periodisch modulo 2π sein muss:

$$\gamma(k_x + 2\pi) = \gamma(k_x) + 2\pi W, W \in \mathbb{Z} \text{ ganzzahlig}$$

Wähle Dispersion so, dass $\gamma(k_x) - \Theta(k_x) = W \cdot k_x$

$$\Rightarrow |\psi(n, t=T)\rangle = \int_0^{2\pi} dk_x e^{ik_x(n+W)} |\psi(k_x, k_y=0)\rangle$$

⇒ Wellenfunktions effektiv nach Periode von W Einheitszellen verschoben!

\Rightarrow nach Durchlaufen einer Periode sind die W-Lag-
dungseinheiten geplumpt worden, wenn die
Berryphase die Relation

$$\gamma(k_x + 2\pi) - \gamma(k_x) = 2\pi W$$

erfüllt.

W heißt 1. Chernzahl = topologische Invariante,
die die Bandstruktur von 2D QHE-Systemen
charakterisiert.

Tatsächlich: W = Bulk topologische Invariante
von Systemen mit gebrochener Zeitinversions-
symmetrie.

$W=0$: trivialer Isolator

$W \neq 0$: Chern-Isolator mit W chiralen Randmoden

Chernzahl von der Berrykrümmung

Berry-Connection $\vec{A}(\vec{k}) \leftrightarrow$ Vektorpotential $\vec{A}(?)$?

Ahnlichkeiten: • $\vec{A}(\vec{k})$ ist eichabhängig

$$|\psi(\vec{k})\rangle \rightarrow e^{i\vec{A}(\vec{k})|\psi(\vec{k})\rangle}$$

$$\Rightarrow \vec{A}(\vec{k}) \rightarrow \vec{A}(\vec{k}) + \vec{\nabla}_{\vec{k}} d$$

• Berryphase ist eichinvariant für geschlossene Pfade

Idee: Jh EM ist $\vec{\nabla} \times \vec{A} = \vec{B}$ das messbare Magnetfeld

Hier: $\vec{\nabla}_{\vec{k}} \times \vec{A}(\vec{k}) \equiv \vec{\Omega}(\vec{k})$ Berry-Krümmung

$$= i \left[\left\langle \frac{\partial \psi}{\partial k_x} \middle| \frac{\partial \psi}{\partial k_y} \right\rangle - \left\langle \frac{\partial \psi}{\partial k_y} \middle| \frac{\partial \psi}{\partial k_x} \right\rangle \right] \quad \begin{array}{l} \text{nur } \\ \text{z-Komponente} \\ \text{für 2D-System} \end{array}$$

eichinvariant

Stokes-Theorem: Brillouinzone = 2-Torus (Donut)



$$2\pi W = \gamma(2\pi) - \gamma(0)$$

$$= \iint_{BZ} \vec{\Omega}(\vec{k}) \cdot d\vec{s} \quad \text{"Gauß-Bonnet-Theorem"}$$

$W \neq 0$: "Fluss", der durch geschlossene Fläche geht

→ ∃ "magnetischer Monopol" (Dirac-Monopol).

Energielichen Schlässe sind Quellen der Berrykrümmung

9.6) Kubo-Formel und TKNN-Invariante

Behauptung war: Chirizahl W ist topologische Invariante, die mit Berry-Krümmung besetztes Bänder zu tun hat und die Zahl der chiralen Randmoden zwischen Chern-Insulator und trivialer Außenwelt zählt.

Jetzt: Explizite Berechnung der Hall-Leitfähigkeit

$$\sigma_{xy} = W \frac{e^2}{h}$$

aus linear response (Kubo-Formel).

"Linear Response in a nutshell"

$$H = H_0 + \Delta H$$

↑ ↑
System Störung

$H_0 |m\rangle = E_m |m\rangle$ Vierteileneigenzustände von H_0

$$\vec{E}\text{-Feld: } \vec{E} = -\partial_t \vec{A}$$

$$\Rightarrow \Delta H = -\vec{J} \cdot \vec{A} \quad (\text{paramagnetische Kopplung})$$

$$\text{Wähle } \vec{A}(t) = \frac{\vec{E}}{i\omega} e^{-i\omega t} \quad (\text{nimm } \omega \rightarrow 0 \text{ Linus am Ende})$$

Beachte: i.A. gibt es auch \vec{A}^2 -Terme in ΔH (diamagnetische Kopplung), sind für Hall-Response aber zweitrangig.

Ziel: Schreibe $\langle \vec{J}(\omega) \rangle = \overset{\leftrightarrow}{\sigma}(\omega) \vec{E}(\omega)$
 hängt nur von H_0 ab

$\overset{\leftrightarrow}{\sigma}$ = Leitfähigkeitsensor

σ_{xy} = Hall-Leitfähigkeit

Wechselwirkungsbild:

$$\hat{O}(t) = V^{-1} \hat{O} V, \quad V = e^{-i H_0 t / \hbar}$$

$$|\Psi(t)\rangle_I = U(t, t_0) |\Psi(t_0)\rangle$$

$$U(t, t_0) = \underset{\text{Zeitordnung}}{\mathcal{T}} \exp \left(-\frac{i}{\hbar} \int_{t_0}^t \Delta H(t') dt' \right)$$

$$i\hbar \dot{U} = \Delta H U$$

Schreibe $U(t) = U(t, t_0 \rightarrow -\infty)$, System bei $t_0 \rightarrow -\infty$

im Grundzustand $|0\rangle$:

$$\langle \vec{J}(t) \rangle = \langle 0 | \vec{J}(t) | 0 \rangle \quad \xrightarrow{\text{zeitlicher Grundzustand}}$$

$$= \langle 0 | U^{-1}(t) \vec{J}(t) U(t) | 0 \rangle$$

$$\approx \langle 0 | \left(\vec{J}(t) + \frac{i}{\hbar} \int_{-\infty}^t dt' [\Delta H(t'), \vec{J}(t')] \right) | 0 \rangle.$$

für die Ordnung in $U(t)$ behalten

bzgl. ΔH

Annahme: $\langle 0 | \vec{J}(t) | 0 \rangle = 0$ kein Strom im Grundzustand

$$\text{Summenkonvention}$$

$$\langle J_i(t) \rangle = \frac{1}{\hbar \omega} \int_{-\infty}^t dt' \langle 0 | [J_j(t'), J_i(t)] | 0 \rangle E_j e^{-i\omega t'} =$$

i-de Komponente
i = x, y

$$t'' = t - t'$$

$$\dots = \frac{1}{\hbar \omega} \left(\int_0^\infty dt'' e^{i\omega t''} \langle 0 | [J_j(0), J_i(t'')] | 0 \rangle \right) E_j e^{-i\omega t}$$

(genauer: $\omega \rightarrow \omega + i0^+$ für Konvergenz)

Hall-Leitfähigkeit:

$$\sigma_{xy}(\omega) = \frac{1}{\hbar \omega} \int_0^\infty dt e^{i\omega t} \langle 0 | [J_y(0), J_x(t)] | 0 \rangle$$

Kubo-Formel

Entslieben von Eigenbasis:

$$\sigma_{xy}(\omega) = -\frac{i}{\omega} \sum_{n \neq 0} \left[\frac{\langle 0 | J_y | n \rangle \langle n | J_x | 0 \rangle}{\hbar \omega + E_n - E_0} - \frac{\langle 0 | J_x | n \rangle \langle n | J_y | 0 \rangle}{\hbar \omega + E_0 - E_n} \right]$$

$\omega \rightarrow 0$ Limes:

$$\frac{1}{\hbar \omega + E_n - E_0} \approx \frac{1}{E_n - E_0} - \frac{\hbar \omega}{(E_n - E_0)^2} + \mathcal{O}(\omega^2)$$

spielt keine Rolle für Hall

$$\boxed{\sigma_{xy} = i \hbar \sum_{n \neq 0} \frac{\langle 0 | J_y | n \rangle \langle n | J_x | 0 \rangle - \langle 0 | J_x | n \rangle \langle n | J_y | 0 \rangle}{(E_n - E_0)^2}}$$

Kubo-Formel für DC Hall-Leitfähigkeit

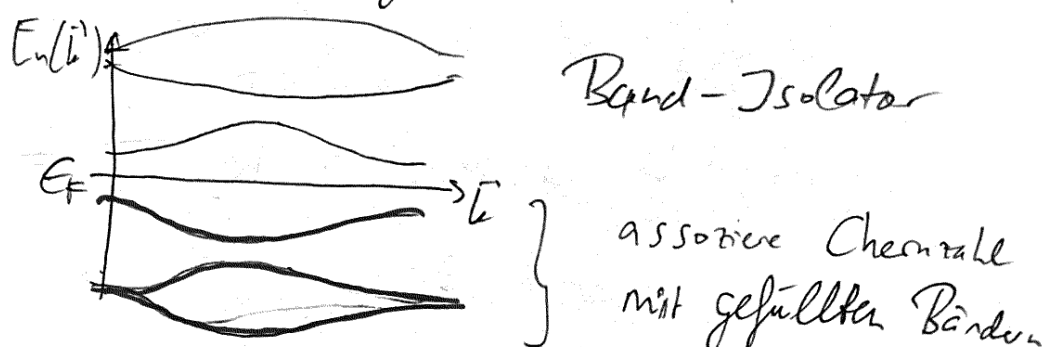
Rolle der Topologie

Betrachte Teilchen auf Gitter

$$\Rightarrow \text{Brillouinzone} = 2\text{-Torus } \mathbb{T}^2$$

Bloch-Wellenfunktionen $\Psi_{k\sigma}(\vec{x}) = e^{i\vec{k}\cdot\vec{x}} u_{k\sigma}(\vec{x})$

Annahme: Bänder energetisch separiert, Energielücke (im Bulk)



$$\text{Berry-Connexion: } A_j(\vec{k}) = -i \left\langle u_{k\sigma} \left| \frac{\partial}{\partial k_j} \right| u_{k\sigma} \right\rangle$$

\Rightarrow Berry-Krümmung (hier vorher $\vec{\Omega}$)

$$F_{xy} = \frac{\partial A_x}{\partial k_y} - \frac{\partial A_y}{\partial k_x} = -i \left\langle \frac{\partial u}{\partial k_y} \left| \frac{\partial u}{\partial k_x} \right. \right\rangle + i \left\langle \frac{\partial u}{\partial k_x} \left| \frac{\partial u}{\partial k_y} \right. \right\rangle$$

$$\Rightarrow 1. \text{ Chernzahl } W = \frac{1}{2\pi} \int_{\mathbb{T}^2} d^2 k F_{xy}$$

TKNN-Invariante PRL 49, 405 (1982)

Kubo-Formel ausgedrückt mit Produktzuständen:

$$\sigma_{xy} = i\hbar \sum_{E_\alpha < E_F < E_\beta} \frac{\int \frac{d^2 k}{(2\pi)^2}}{\pi^2} \frac{\langle u_n^\alpha | \partial_y | u_n^\beta \rangle \langle u_n^\beta | \partial_x | u_n^\alpha \rangle - (x \leftrightarrow y)}{(E_\beta(k) - E_\alpha(k))^2}$$

$$\text{Strom: } H |u_n\rangle = E_n |u_n\rangle$$

$$\Rightarrow (e^{-ikx} H e^{ikx}) |u_n\rangle = E_n |u_n\rangle$$

$$\Rightarrow \tilde{H}(k) |u_n\rangle = E_n |u_n\rangle, \quad \tilde{H}(k) = e^{-ikx} H e^{ikx}$$

$$\text{Strom } \vec{J} = \frac{e}{\hbar} \frac{\partial \tilde{H}}{\partial \vec{k}}$$

$$\sigma_{xy} = \frac{i e^2}{\hbar} \sum_{E_\alpha < E_F < E_\beta} \frac{\int \frac{d^2 k}{(2\pi)^2}}{\pi^2} \frac{\langle u_n^\alpha | \partial_y \tilde{H} | u_n^\beta \rangle \langle u_n^\beta | \partial_x \tilde{H} | u_n^\alpha \rangle - (x \leftrightarrow y)}{(E_\beta - E_\alpha)^2}$$

∂_x, ∂_y bedeutet $\partial/\partial k_x, \partial/\partial k_y$

$$\langle u_n^\alpha | \partial_i \tilde{H} | u_n^\beta \rangle = \langle u_n^\alpha | \partial_i (\tilde{H} | u_n^\beta \rangle) - \langle u_n^\alpha | \tilde{H} | \partial_i u_n^\beta \rangle$$

$$(\partial_i E_\beta) \underbrace{\langle u_n^\alpha | u_n^\beta \rangle}_{=0} = (E_\beta(k) - E_\alpha(k)) \langle u_n^\alpha | \partial_i u_n^\beta \rangle$$

$$= - (E_\beta(k) - E_\alpha(k)) \langle \partial_i u_n^\alpha | \partial_i u_n^\beta \rangle$$

$$\Rightarrow \sigma_{xy} = \frac{i e^2}{\hbar} \sum_{\alpha \beta} \int \frac{d^2 k}{(2\pi)^2} \langle \partial_y u_n^\alpha | u_n^\beta \rangle \langle u_n^\beta | \partial_x u_n^\alpha \rangle - (x \leftrightarrow y)$$

$$\text{Summation über leere Bänder: } \sum_p |u_i^p\rangle\langle u_i^p| = 1 - \sum_{\alpha} |u_i^{\alpha}\rangle\langle u_i^{\alpha}|$$

hann die 1 werden
"rausziehen"

verdunstet in σ_{xy}
durch Symmetrie

$$\Rightarrow \boxed{\sigma_{xy} = \frac{ie^2}{h} \sum_{\substack{\alpha \\ \text{gefüllte} \\ \text{Bänder}}} \frac{1}{(2\pi)^2} \int d^2k \left\langle \frac{\partial_y u_k^{\alpha}}{\partial_x u_k^{\alpha}} \right\rangle - \left\langle \frac{\partial_x u_k^{\alpha}}{\partial_y u_k^{\alpha}} \right\rangle}$$

Daraus folgt mit Definition des Chenzahl

$$\sigma_{xy} = \frac{e^2}{h} \sum_{\alpha} W_{\alpha}$$

gefüllte
Bänder

"Kubo = Chern"

Japanischer Physiker = chinesischer Mathematiker

Eine der fundamentalen Gleichungen der topologischen Bandtheorie.

Im QHE-System bestimmt die Chenzahl der besetzten Zustände die quantisierte Hall-Leitfähigkeit!

Übung: Zeige für Gittermodell des 2D-Chern-Isolators,
dass nicht die Chenzahl die Anzahl der Randmoden bestimmt.
chiraler